

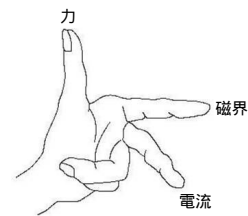
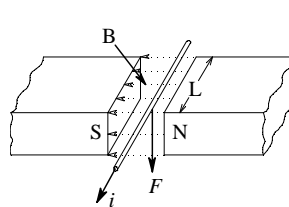
# 誘導電動機の電流徴候解析

小村 英智

3DIM技研

## フレミングの法則

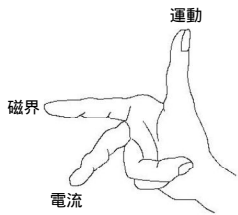
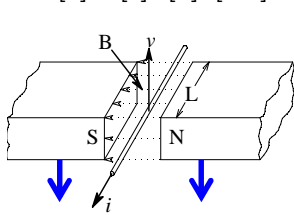
$$F[N] = B[T] \cdot L[m] \cdot I[A]$$



フレミングの左手の法則

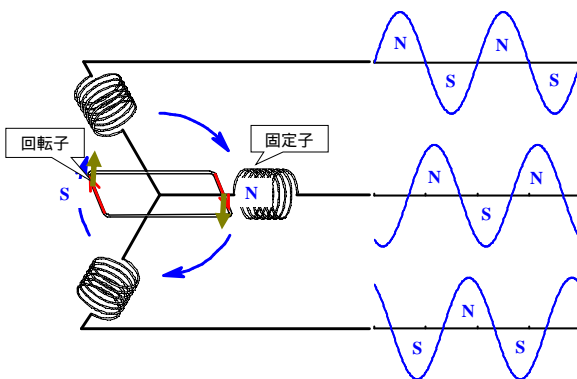
## フレミングの法則

$$e[V] = B[T] \cdot L[m] \cdot v[m/s]$$

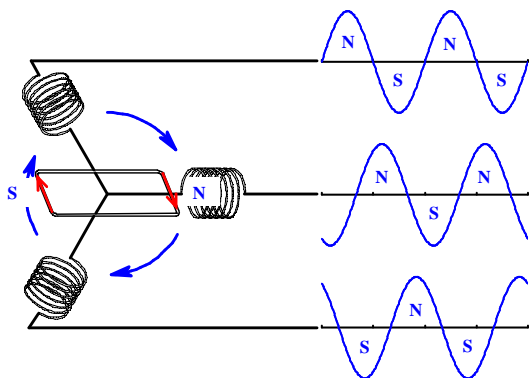


フレミングの右手の法則

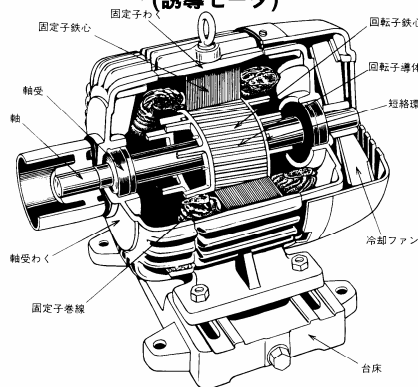
## 三相交流による回転磁界

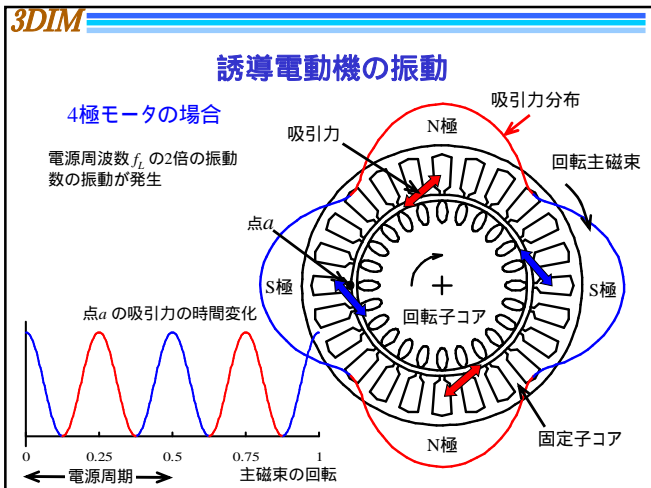
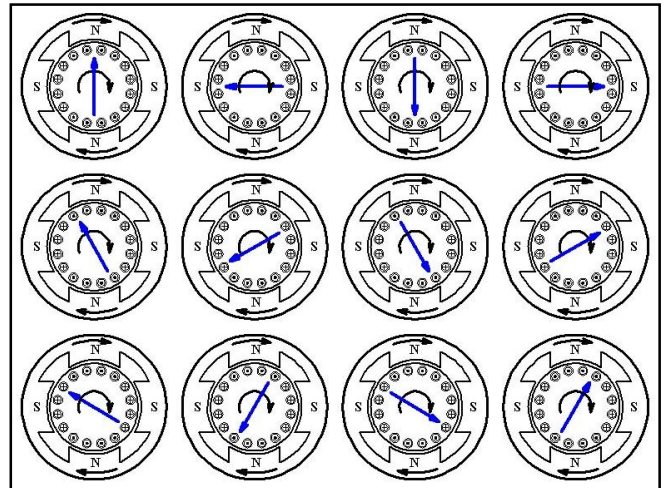
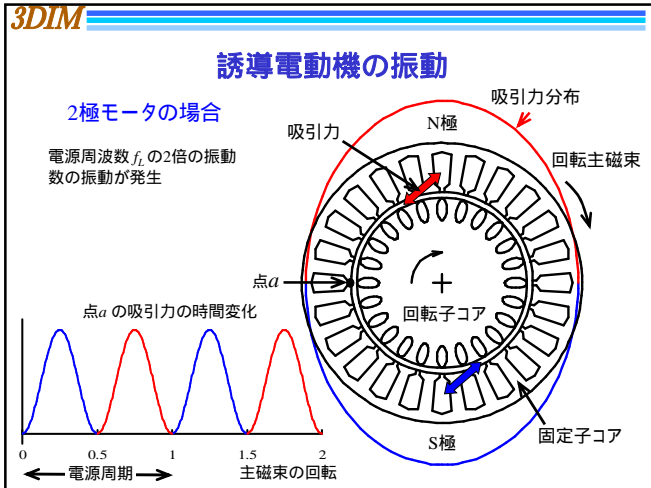


## 三相交流による回転磁界



## 電動機の構造 (誘導モータ)





### 3DIM 誘導電動機の回転数

同期速度  $N_x$  は

$$N_x = 120 \frac{f_L}{p} \text{ rpm} \quad f_x = \frac{2}{p} f_L \text{ Hz}$$

実際の回転数  $N$  と同期速度  $N_x$  に差があり、その関係は

$$s = \frac{N_x - N}{N_x}$$

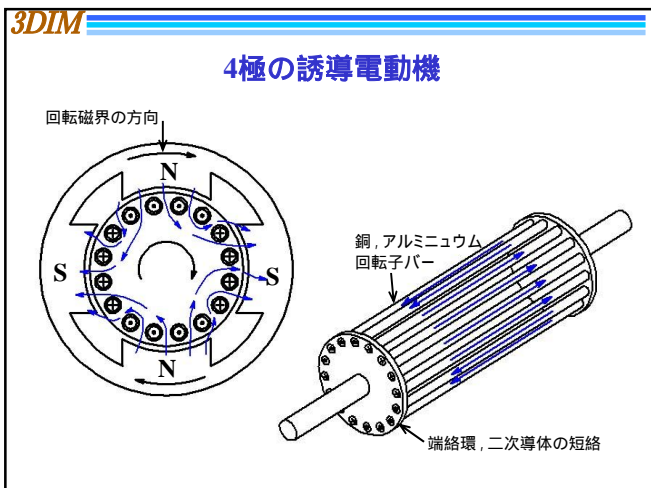
ここで  $s$  はすべり率であり  $N$  は、 $N = N_x(1-s)$

$$N = 120 \times (1-s) \frac{f_L}{p}$$

すべり周波数 (slip frequency)  $s_f$  は、

$$s_f = \frac{1}{60} (N_x - N) = s \times \frac{2}{p} f_L$$

$f_L$ : 電源周波数  
 $p$ : 磁極数  
 $s$ : すべり率



### 3DIM 磁気振動(電氣的振動)

空隙不平衡による振動

- 電源周波数の2倍:  $2f$  ( $2f_c$  と  $2f_L$  のうなり発生)
- 軸曲り/回転子偏心:  $2f_L$ ,  $f_c$  が  $2sf_L$  で振幅変調, ミスアライメントなどで  $2f_c$  があると  $2f_c$  が  $2sf_L$  で振幅変調

固定子巻線の不平衡 → 電源周波数の2倍:  $2f_L$

回転子巻線の不平衡 →  $f_c$  が  $2sf_L$  で振幅変調

電源電圧の不平衡 → 電源周波数の2倍:  $2f_L$

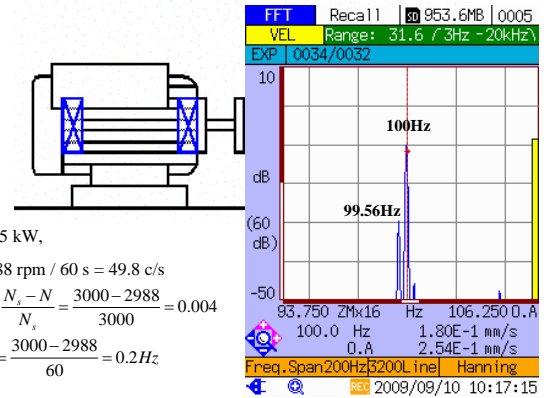
空隙高調波磁束 → 回転子スロット数  
→ 固定子スロット数

インバータの不具合 → キャリア周波数

### 誘導電動機の異常

異常	スペクトル, 時間波形	対策 / 備考
空隙不均衡振動 Air-gap vibration (静的偏心)	$2f_L$ 成分プラス側帯波, $2f_r$ 成分と $2f_L$ でうなり.  $f_L$ : 電源周波数 $f_r$ : 回転周波数	フレームの変形を戻し電機子を 中心に置く. 軸受の過大隙間を なくして, どんな状態でも回転 子が固定子の中心を外さないよ うにする.
回転子バーの折損	$f_r$ 成分と (極数 $\times$ 滑り周 波数 $s_f$ ) の側帯波	緩んだか折損した回転子バーを 交換する.
回転子の偏心 (動的偏心)	$f_r$ 成分, $2f_r$ 成分と $2f_L$ で うなりの可能性がある.	空隙振動が起こるかも知れない.
柔軟固定子	$2f_r$ 成分と $2f_L$ でうなり.	固定子の構造を硬くする.
回転磁界中心外れ	軸方向に影響あり	原因がスラスト方向の軸の制約 条件や継手に在るかも知れない. その原因を除去する.
固定子巻線短絡	$2f_r$ と高調波成分	固定子の交換

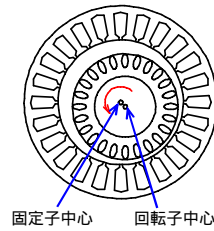
### 誘導電動機の振動速度スペクトルの例



### 3DIM

電動機において, 回転子中心が固定子中心と一致せずにエアギャップに不均一が生じた場合, どのような周波数の振動が主に発生するか.

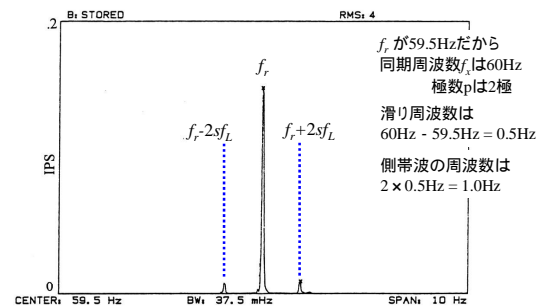
- 電源周波数( $f_L$ )
- 電源周波数の2倍( $2f_L$ )
- 回転周波数( $f_r$ )
- 回転周波数の2倍( $2f_r$ )
- すべり周波数の2倍( $2s_f$ )



### 3DIM

### 回転子バー折損の例

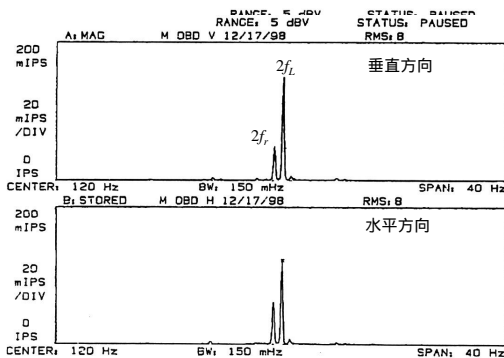
$f_r$  成分と (極数 $p \times$  滑り周波数 $s_f$ ) の側帯波



### 3DIM

### 空隙不均衡振動(静的偏心)の例

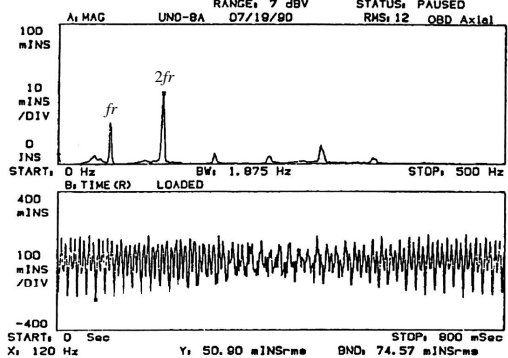
電源周波数の2倍:  $2f_L$ ,  $2f_r$  と $2f_L$  でうなり

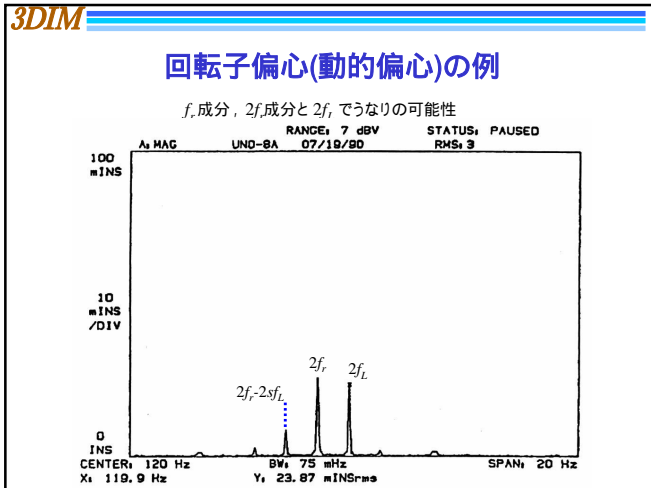
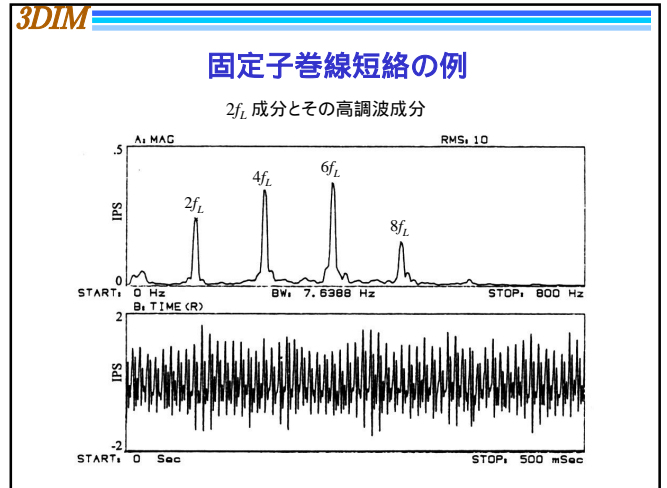
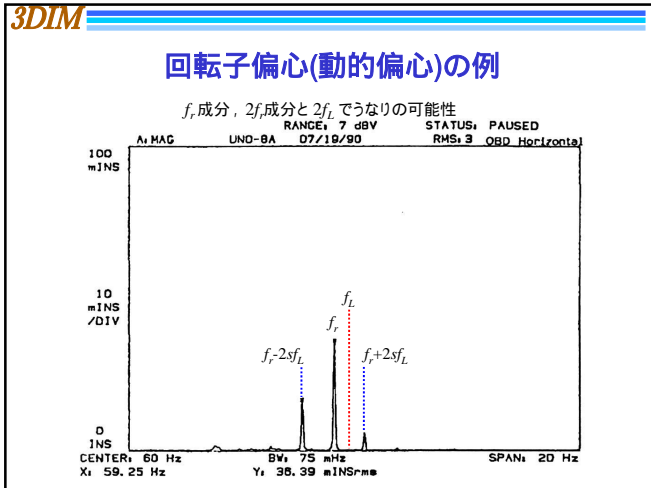


### 3DIM

### 回転子偏心(動的偏心)の例

$f_r$  成分,  $2f_r$  成分と $2f_L$  でうなりの可能性





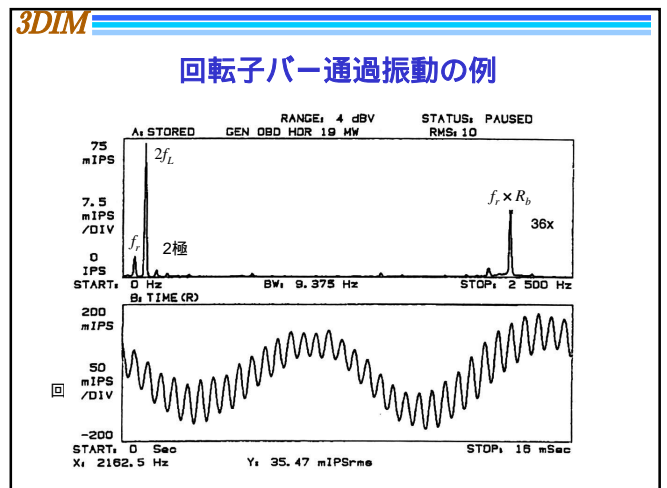
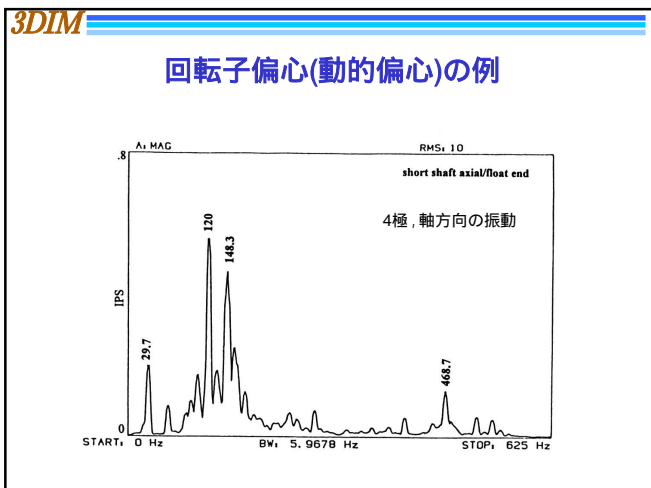
### 3DIM

回転子が1800rpmの三相モータにおいて、固定子のスロット数が35本、回転子のスロット数が23本である。固定子のスロットが1本出っ張った。モータ外側にて計測される振動数はいくらか。

$$f = \frac{1800}{60} \times 23 = 690 \text{ Hz}$$

回転子コア  
固定子コア  
回転子スロット  
固定子スロット

回転子が1800rpmの三相モータにおいて、固定子のスロット数が33本、回転子のスロット数が21本である。回転子のスロットが1本出っ張った。このとき、軸振動に生じる振動数はいくらか。

$$f = \frac{1800}{60} \times 33 = 990 \text{ Hz}$$


誘導電動機電流徴候解析  
MCSA : Motor Current Signature Analysis

MCSAとは何か

1970年 米国原子力規制委員会  
炉に入らないで原子炉内の電動機をチェクする技術が必要としていた。

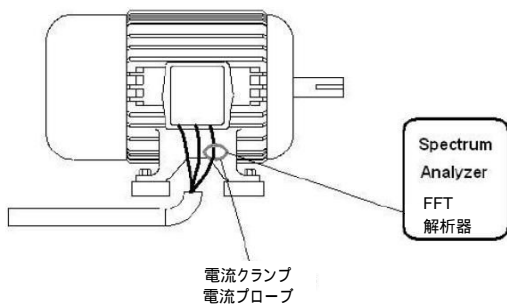
米国テネシー州のオークリッジ国立研究所で研究が開始された。  
電動機の中の様々な異常状態で電動機の電流が変動されることを発見。

固定子と回転子間のエア・ギャップの変化や回転子の抵抗変化、あるいは回転子の回転変動、トルク変動などが、空間磁束線に影響を与え、逆起電力を通して固定子に流れる電流に反映しているという理論に基づいている。

1985年頃から実用化。

- 回転子バーの破損
- 静的偏心 / 動的偏心
- 鉄心の破損
- 巻線のゆるみ / 短絡
- ミスアライメント / アンバランス
- 基盤ゆるみ
- 軸受の欠陥

誘導電動機電流徴候解析  
MCSA : Motor Current Signature Analysis



電源品質に関する制約

・電圧の偏差 : 銘版の電圧 $V_{np}$ に対する差

$$\frac{1}{3}(V_a + V_b + V_c) = V_{ave} \quad \frac{V_{ave} - V_{np}}{V_{ave}} \times 100\% \leq \pm 5.0\% \quad \text{許容範囲 } 5\%$$

・電圧の不均衡 : 電流が不平衡となり、巻線の過熱原因

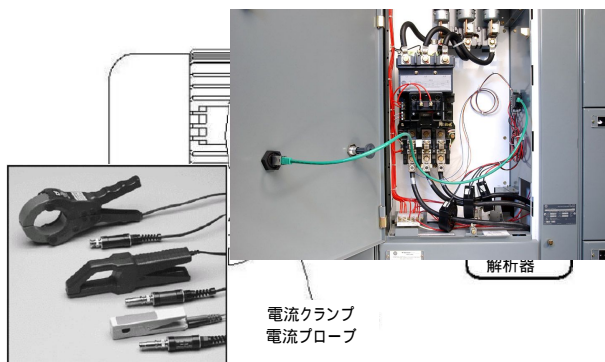
$$\frac{\max\{|V_a - V_{ave}|, |V_b - V_{ave}|, |V_c - V_{ave}|\}}{V_{ave}} \times 100\% \leq \pm 2.0\% \quad \text{許容範囲 } 2\%$$

・IEEE519 規格のTDH(総合高調波歪)の推奨値 力率 0.85以上

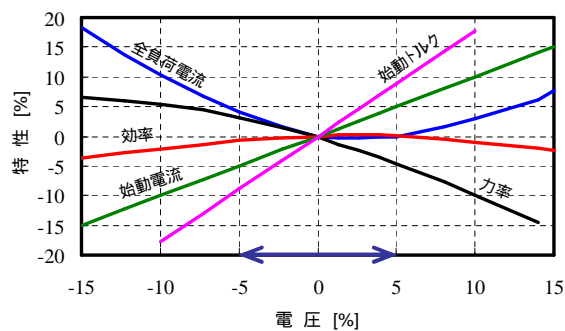
電圧高調波高調波歪 : 5%以内

電流高調波高調波歪 : 3%以内

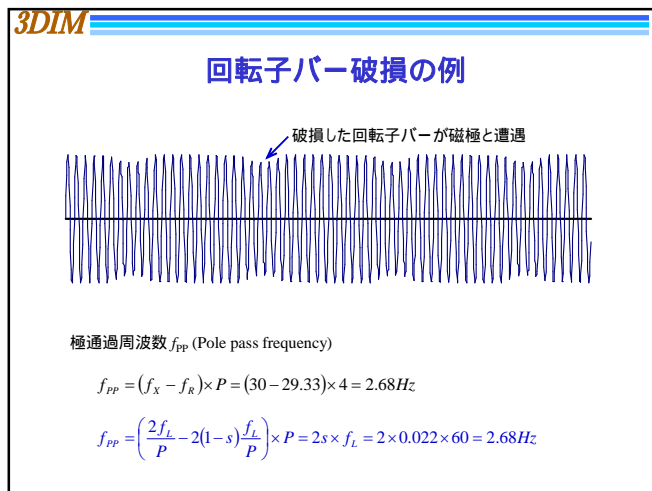
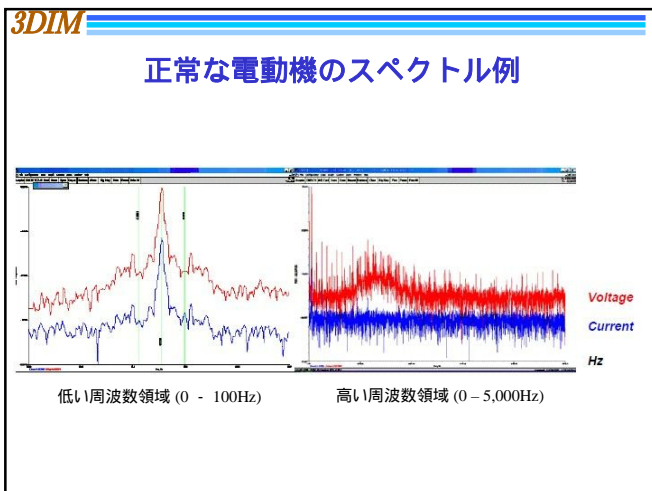
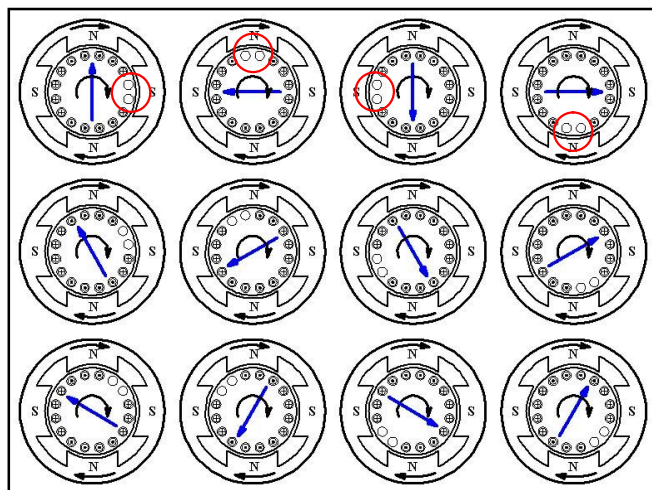
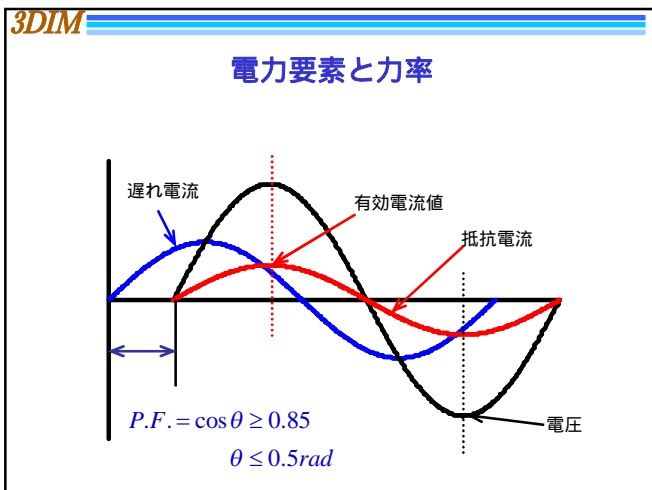
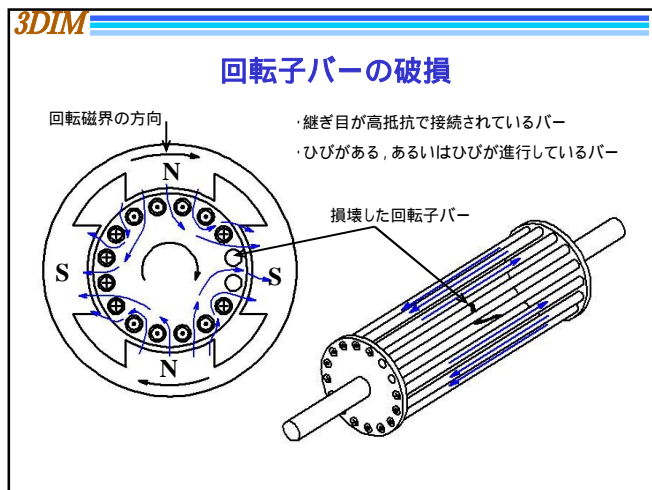
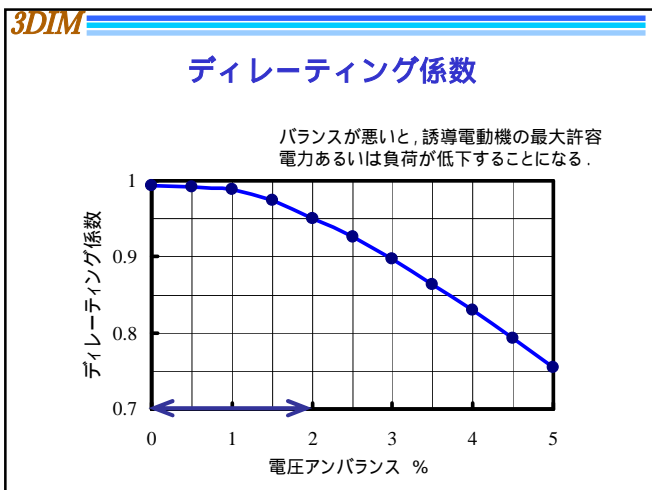
誘導電動機電流徴候解析  
MCSA : Motor Current Signature Analysis

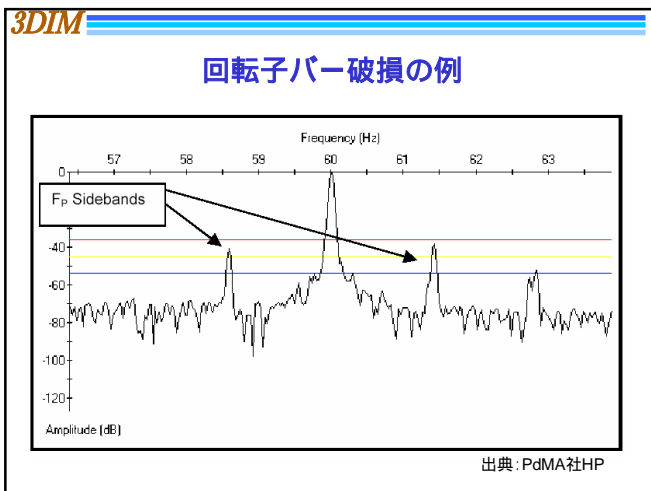
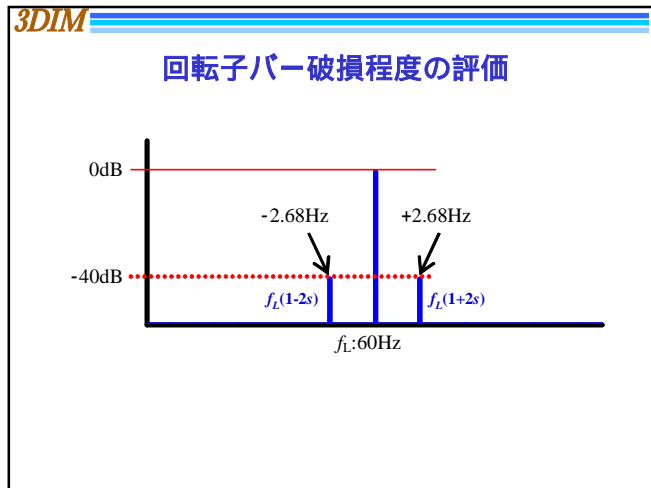
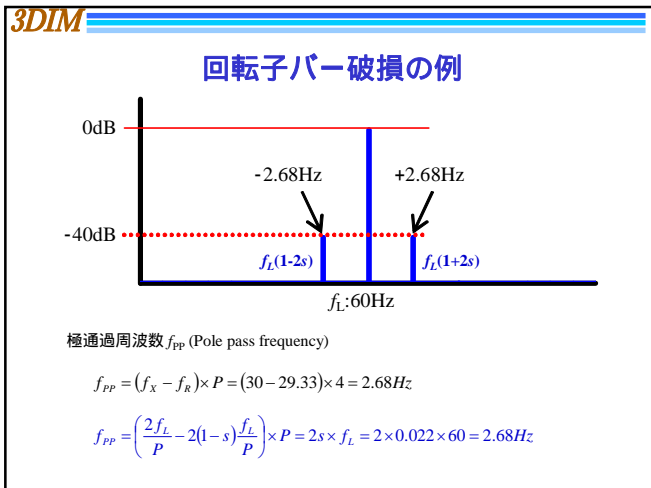
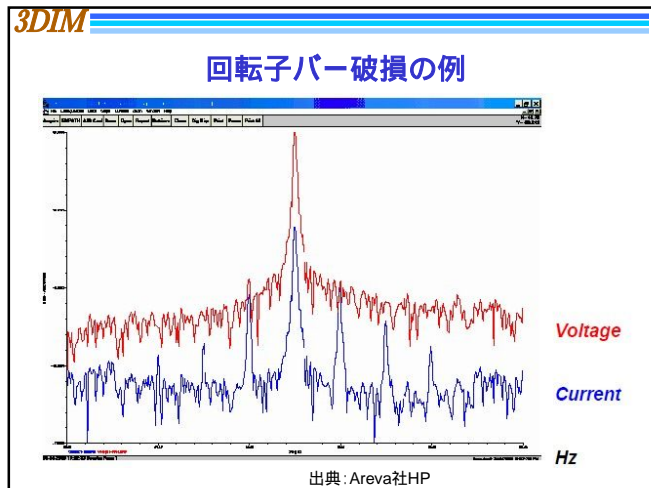
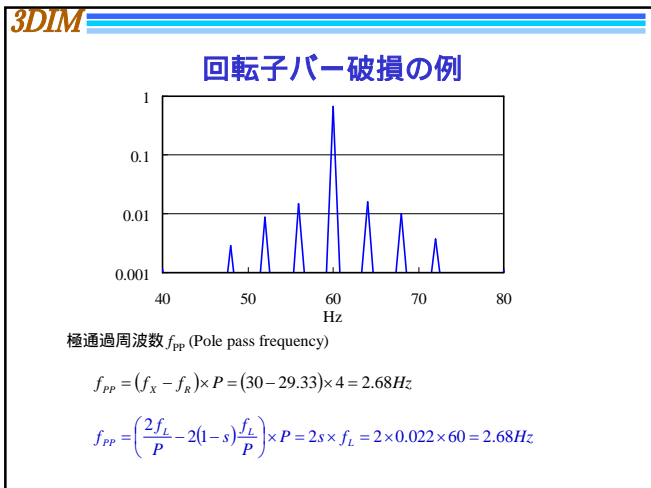


電源電圧の偏移による電動機への影響





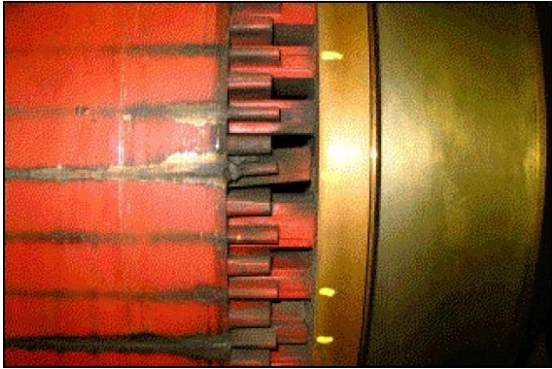




### 3DIM 回転子バー破損程度の評価

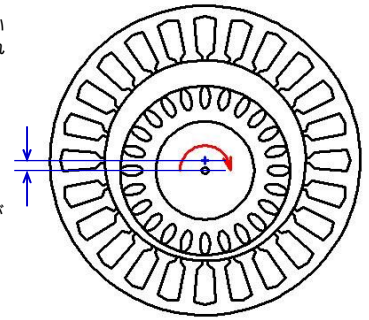
回転子バー損傷程度レベル表			
程度レベル	$f_p/f_L$ (dB)	回転子の状態評価	推奨する行動
1	>60	最良な状態	なし
2	54-60	良好な状態	なし
3	48-54	穏やかな状態	データの傾向管理
4	42-48	回転子バーに割れが進んでいる、あるいは高い抵抗で接続している状態	監視間隔を短縮、試験周波数の増加傾向を監視
5	36-42	1つか2つの回転子バーが割れか折損がある状態	電源と損傷程度を検証するために振動測定を行う
6	30-36	複数の回転子バーが割れか折損がある状態	できる限り速やかに分解点検
7	<30	複数の回転子バーが割れか折損、あるいは短絡板が破損している状態	できる限り速やかに分解点検あるいは交換

### 回転子バー破損例



### 回転子の静的偏心

- ・電動機あるいは従機が柔らかい脚あるいは基礎に備え付けられた場合
- ・転がり軸受にミスアライメントがある場合
- ・すべり軸受けのギャップ調整が不適切な場合

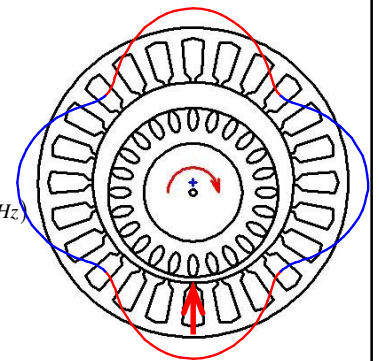


### 回転子バー破損例



### 回転子の静的偏心

回転子バーの数  $n_B$  : 47本  
 回転周波数  $f_R$  : 29.33 Hz  
 箇所を1秒間に通過する  
 転子バーの数  $f_C$  : は、  
 $f_C = n_B \times f_R$  (Hz)  
 $f_C = 47 \times 29.33 = 1378.5$  (Hz)

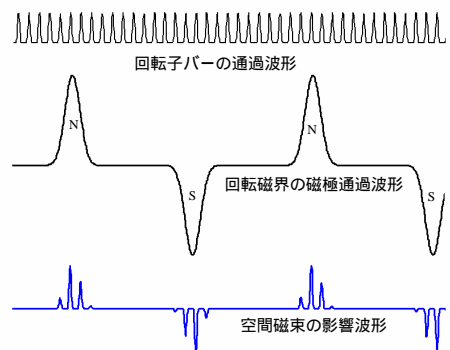


### 回転子バー破損例

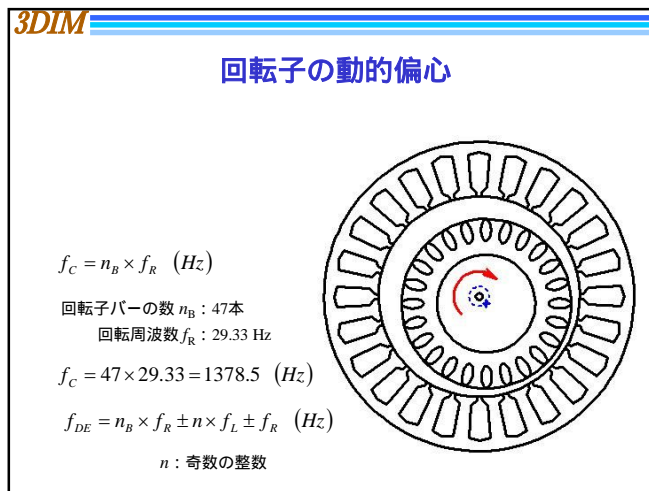
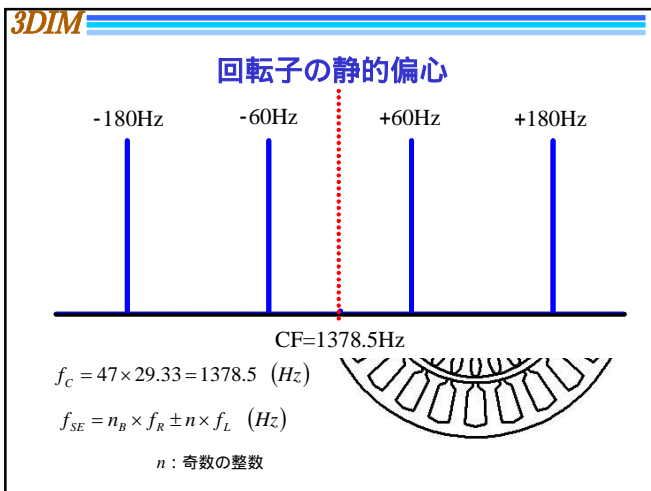
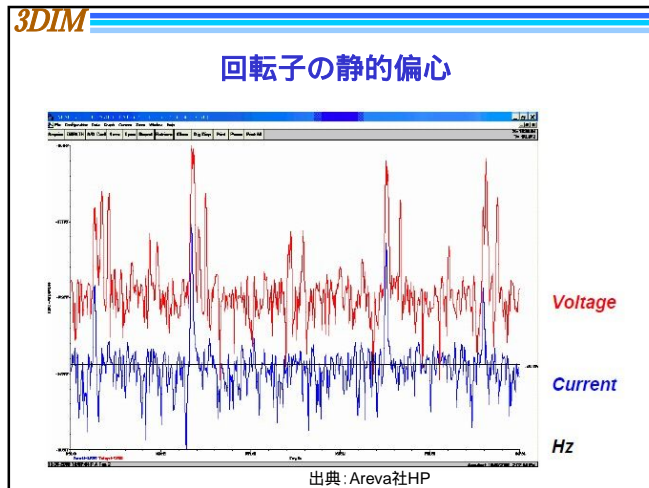
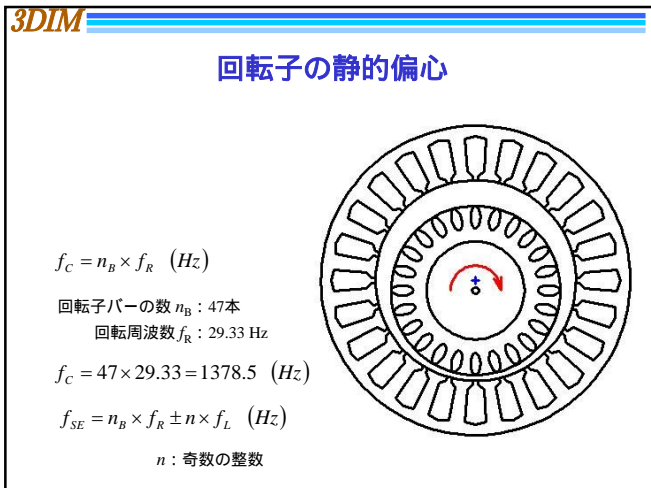
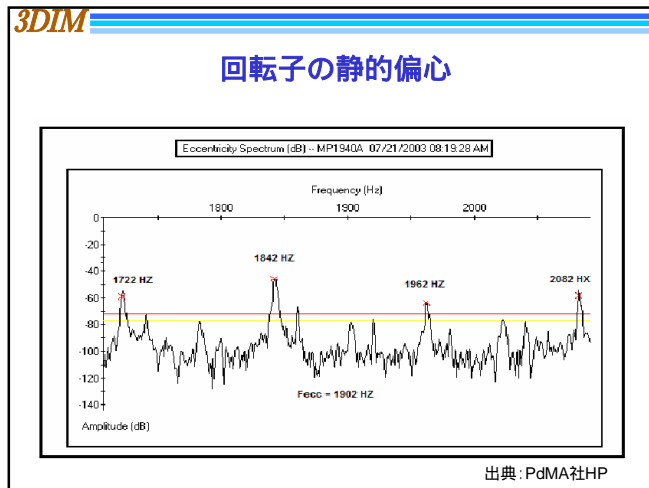
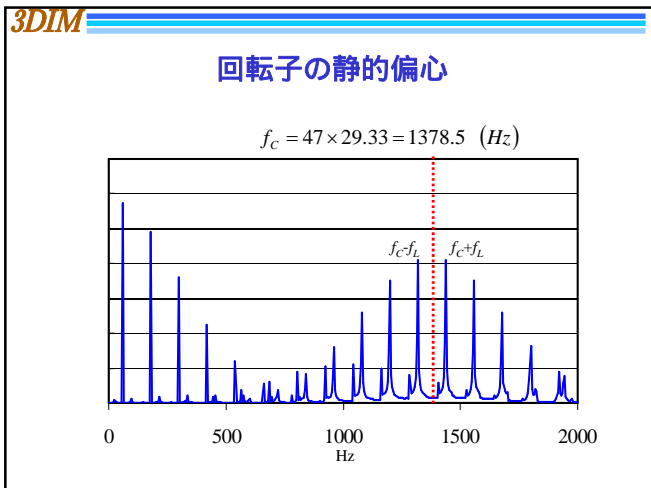


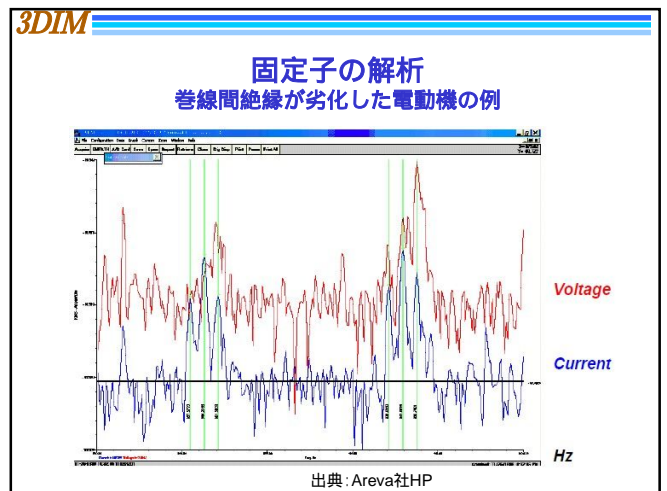
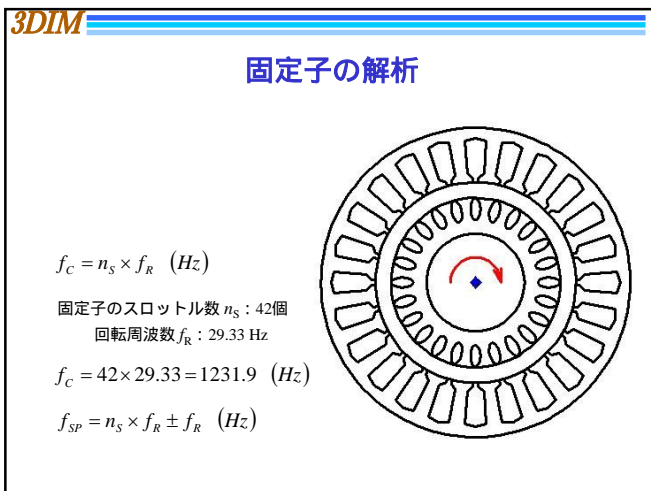
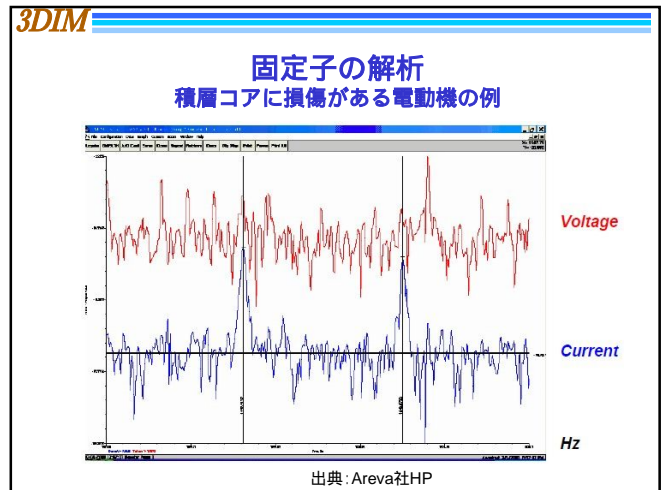
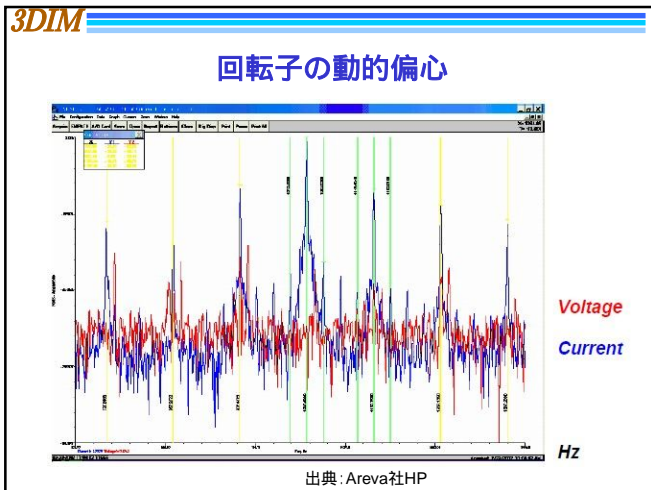
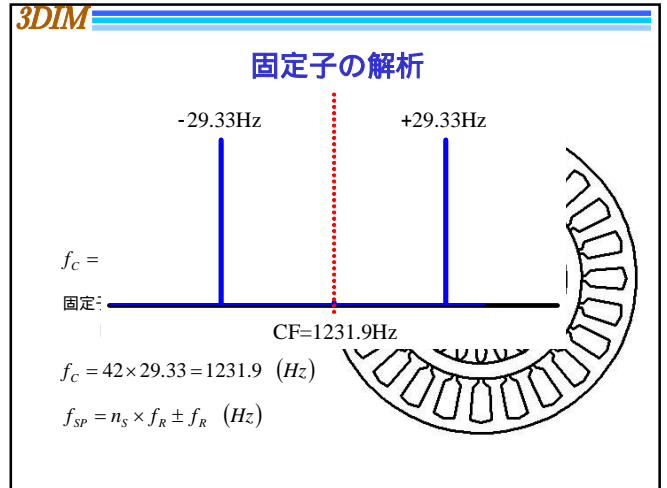
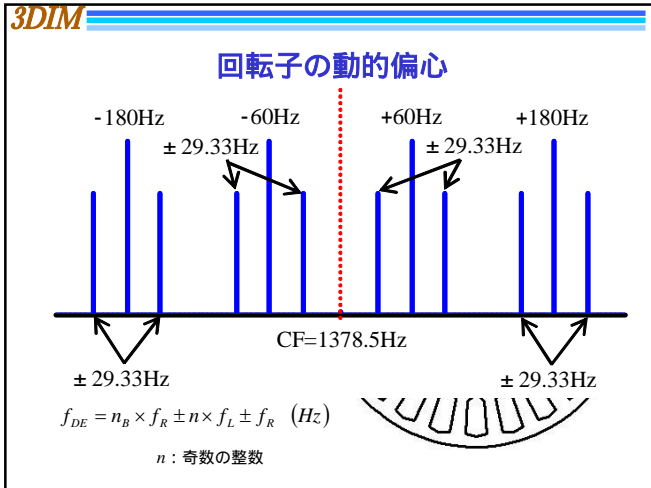
ロータバー57本中 7本折損

### 回転子の静的偏心









### 機械的解析 (不つり合い)

電動機および電動機が駆動する機械に不つり合いがあると、動的偏心と同様な動作となる。

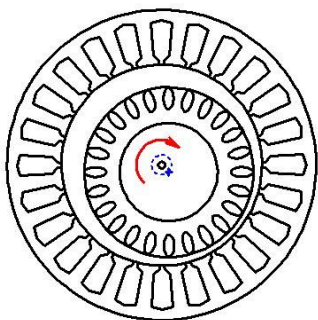
$$f_c = n_B \times f_R \text{ (Hz)}$$

回転子バーの数  $n_B$  : 47本  
 回転周波数  $f_R$  : 29.33 Hz

$$f_c = 47 \times 29.33 = 1378.5 \text{ (Hz)}$$

$$f_{DE} = n_B \times f_R \pm f_L \text{ (Hz)}$$

$$+ 4 \times f_L + 2 \times f_L \text{ (Hz)}$$



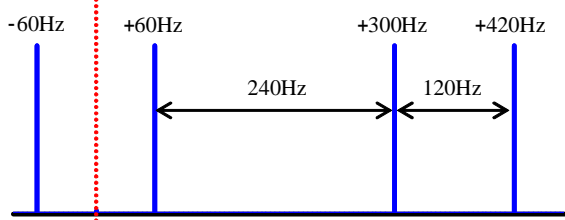
### 機械的解析 (転がり軸受)

	軸受乗数	× 1	× 2	× 3	× 4
BPIR	4.395Hz	$4.395 \times 29.33 \times 1 = 128.9$	257.8	386.7	515.6
BPOR	2.606Hz	$2.606 \times 29.33 \times 1 = 76.43$	152.9	229.3	305.7
FTF	0.372Hz	$0.372 \times 29.33 \times 1 = 10.91$	21.81	32.73	43.64
BSF	1.830Hz	$1.830 \times 29.33 \times 1 = 53.67$	107.3	161.0	214.7

NTN6305 軸受周波数

$$f_{BD} = BPIR \times f_R \times n \pm f_L \text{ (Hz)} \quad n : \text{整数}$$

### 機械的解析 (不つり合い)



CF=1378.5Hz

$$f_c = 47 \times 29.33 = 1378.5 \text{ (Hz)}$$

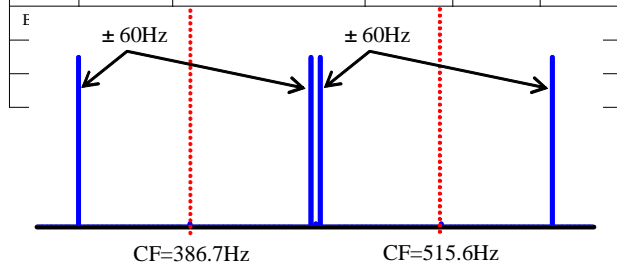
$$f_{DE} = n_B \times f_R \pm f_L \text{ (Hz)}$$

$$+ 4 \times f_L + 2 \times f_L \text{ (Hz)}$$



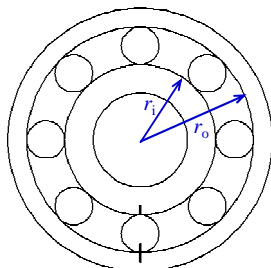
### 機械的解析 (転がり軸受)

	軸受乗数	× 1	× 2	× 3	× 4
BPIR	4.395Hz	$4.395 \times 29.33 \times 1 = 128.9$	257.8	386.7	515.6



$$f_{BD} = BPIR \times f_R \times n \pm f_L \text{ (Hz)} \quad n : \text{整数}$$

### 機械的解析 (転がり軸受)



NTN6305  
の軸受乗数

$$BPIR = \frac{1}{1+k} \times N = 4.395 \text{ Hz}$$

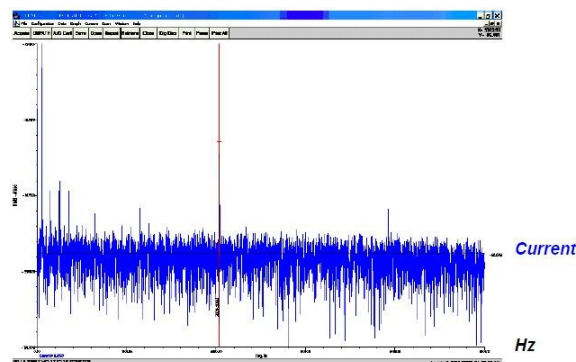
$$BPOR = \frac{k}{1+k} \times N = 2.606 \text{ Hz}$$

$$FTF = \frac{k}{1+k} = 0.372 \text{ Hz}$$

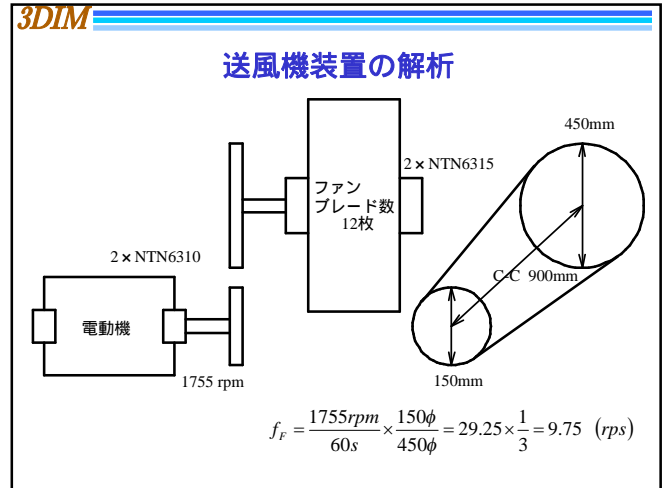
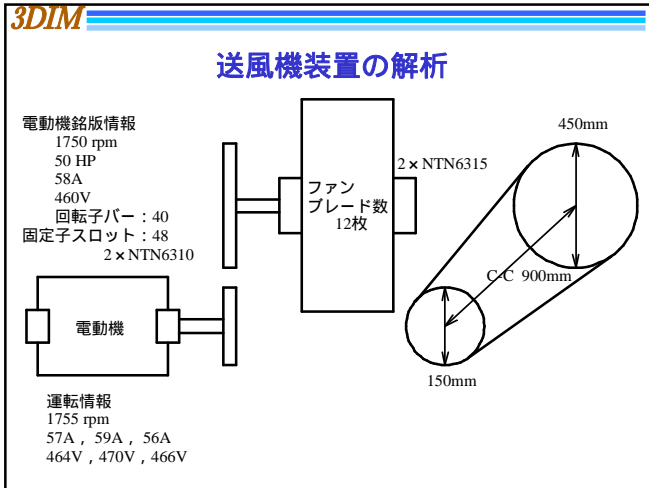
$$BSF = \frac{2k}{1-k^2} = 1.830 \text{ Hz}$$

$$k = \frac{r_i}{r_o} = \frac{BPOR}{BPIR}$$

### 機械的解析 (転がり軸受)



出典: Areva社HP



### 電源品質

電動機銘版情報	運転情報
58A 460V	57A, 59A, 56A 464V, 470V, 466V

---

電圧不つり合い

$$\frac{1}{3} (464V_a + 470V_b + 466V_c) = 467V_{ave}$$

$$\frac{467V_{ave} - 464V_a}{467V_{ave}} \times 100\% = 0.6\% \quad \text{許容範囲 2\% 以内}$$

電圧偏差

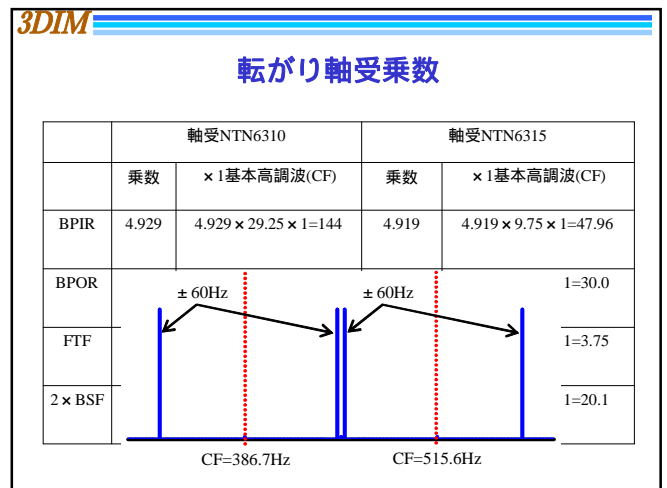
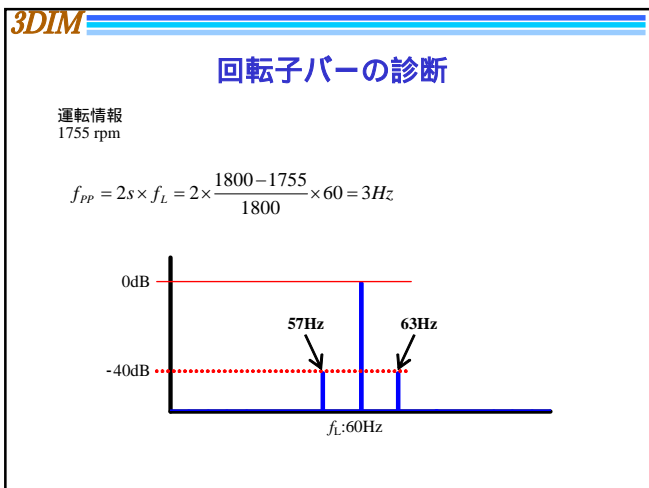
$$\frac{467V_{ave} - 460V_{np}}{467V_{ave}} \times 100\% = 1.5\% \quad \text{許容範囲 5\% 以内}$$

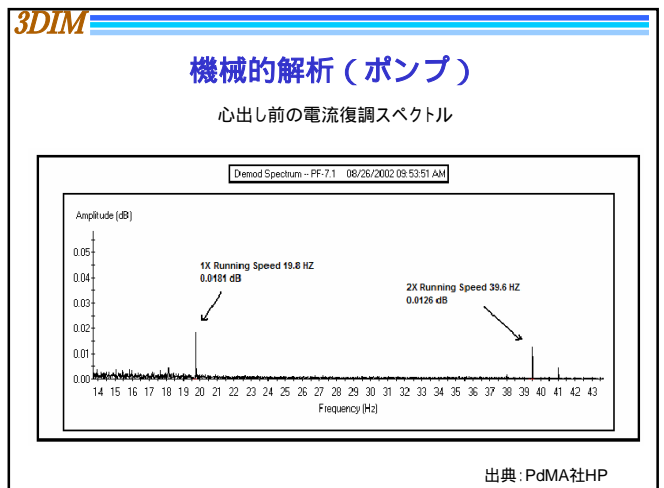
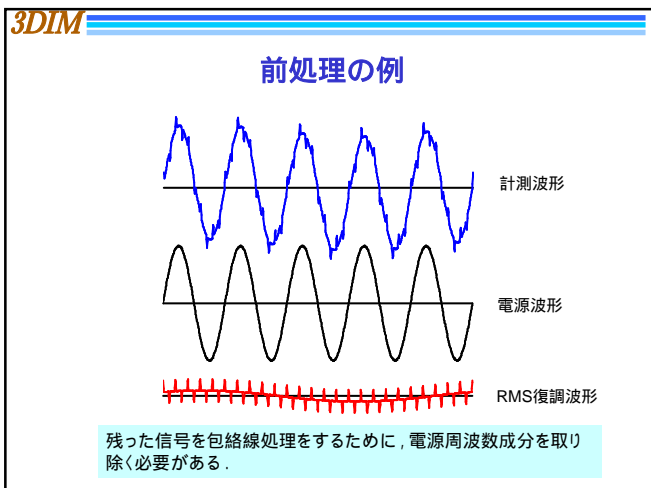
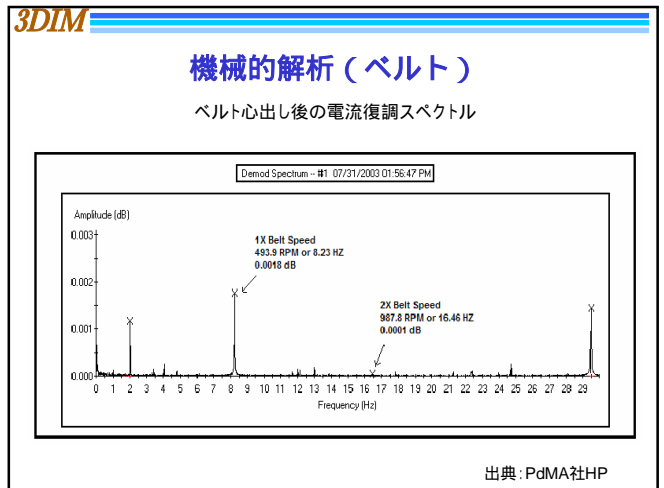
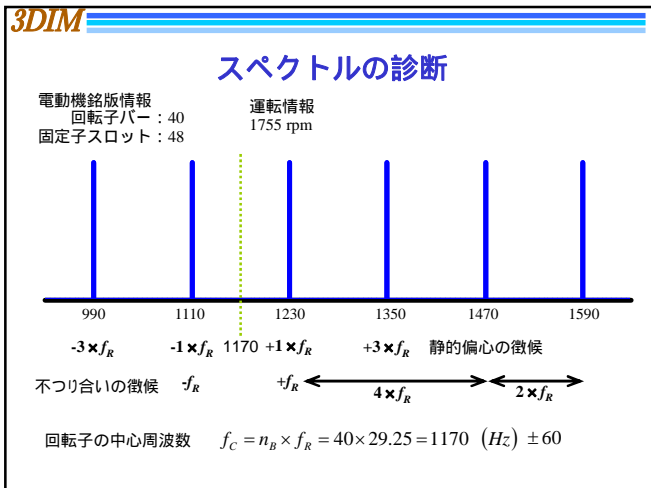
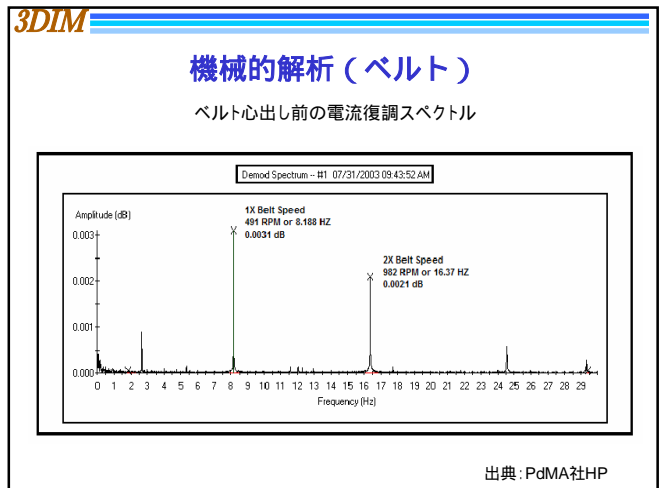
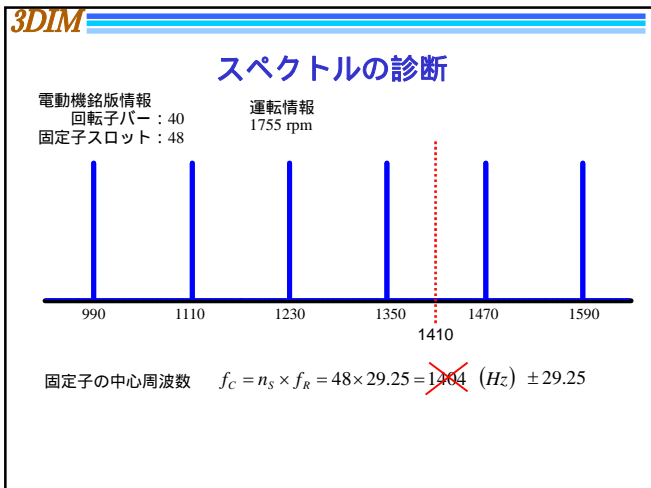
IEEE519 規格のTDH(総合高調波歪)の推奨値      力率    0.85以上

電圧高調波歪    5% 以内  
 電流高調波歪    3% 以内

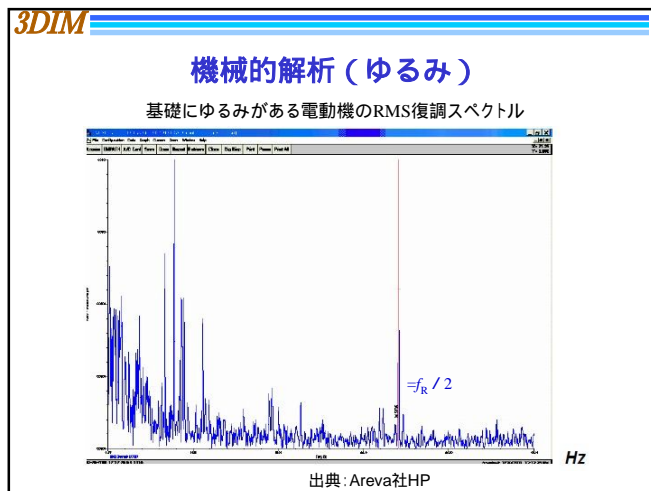
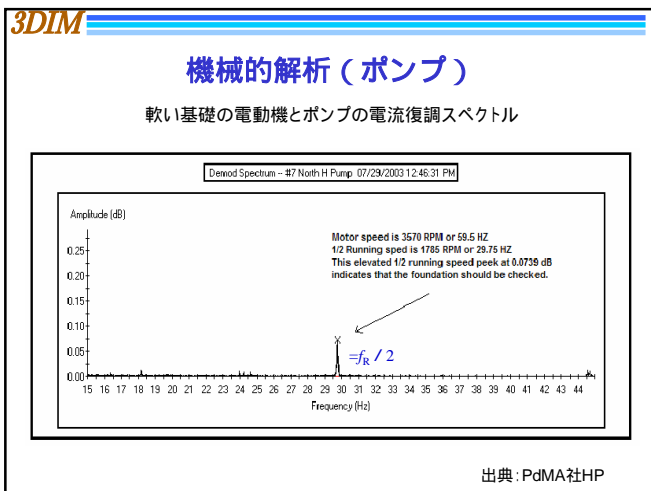
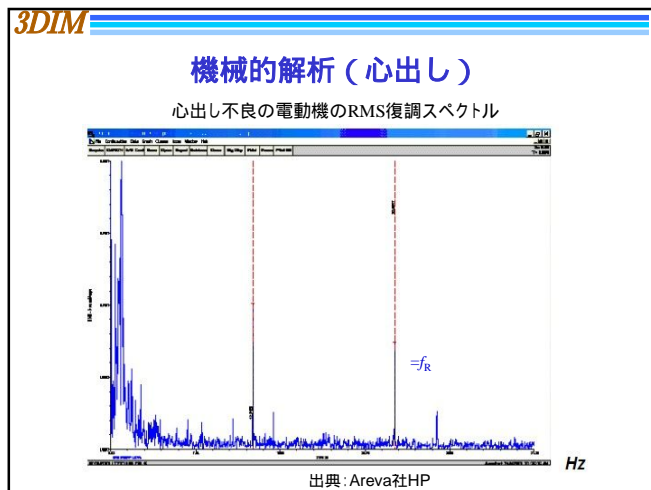
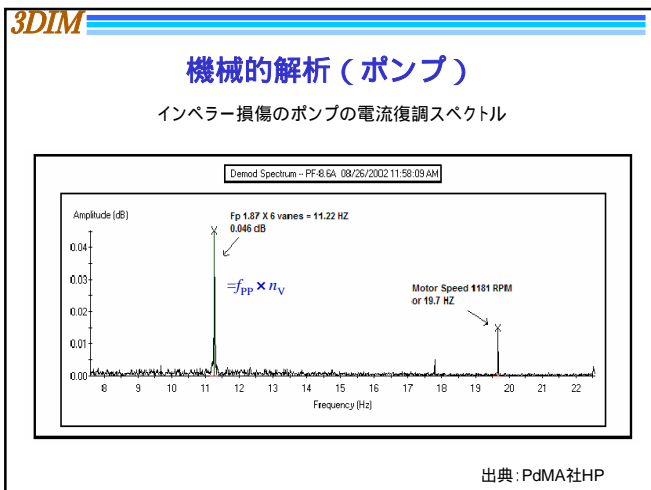
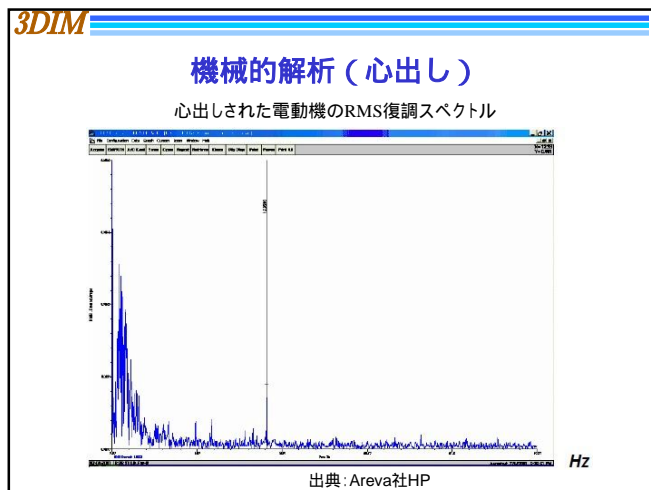
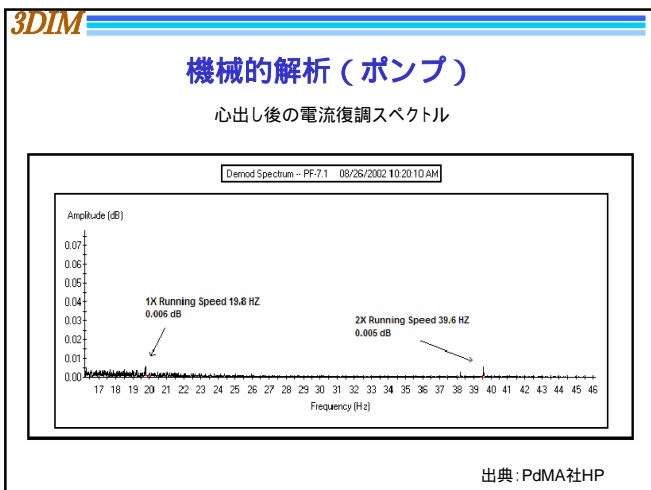
### 転がり軸受乗数

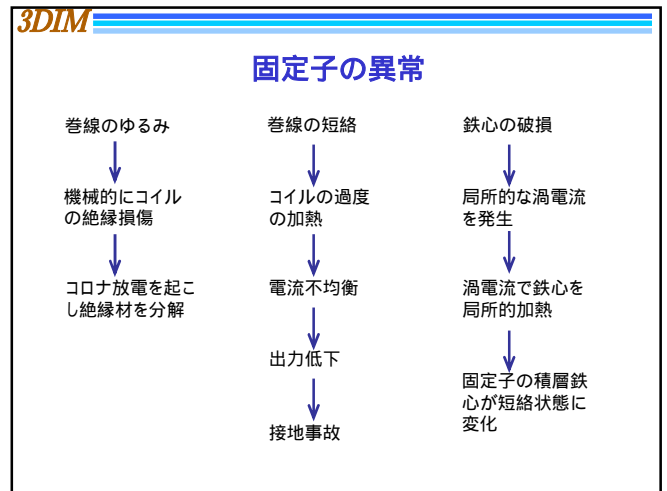
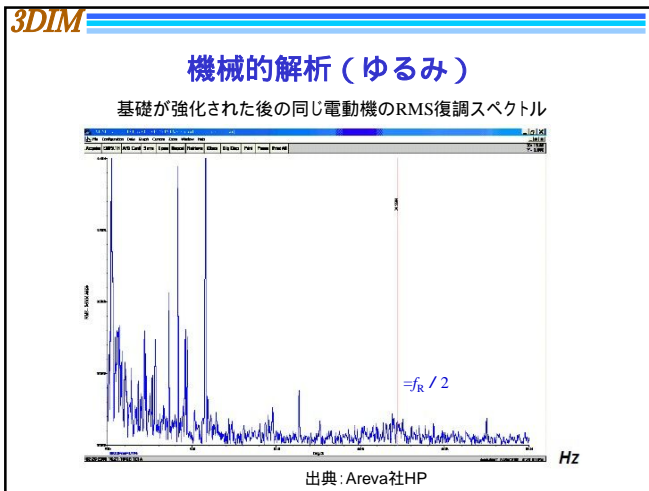
	軸受NTN6310		軸受NTN6315	
	乗数	× 1基本高調波(CF)	乗数	× 1基本高調波(CF)
BPIR	4.929	4.929 × 29.25 × 1 = 144	4.919	4.919 × 9.75 × 1 = 47.96
BPOR	3.071	3.071 × 29.25 × 1 = 89.8	3.081	3.071 × 9.75 × 1 = 30.0
FTF	0.384	0.384 × 29.25 × 1 = 11.23	0.385	0.385 × 9.75 × 1 = 3.75
2 × BSF	2.036	2.036 × 29.25 × 1 = 59.55	2.062	2.062 × 9.75 × 1 = 20.1



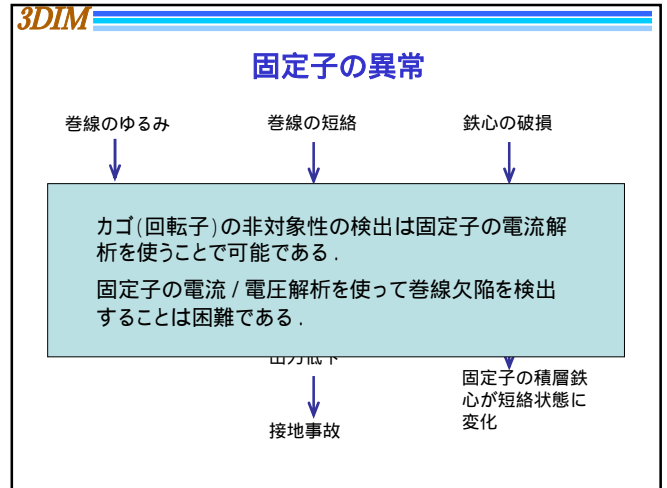








お願い



**3DIM**

### ISO/TC108/SC5 「機械の状態監視と診断」

WG1: 用語  
WG2: データの解釈と診断技術

ROTATING ELECTRICAL MACHINES  
Part-24: Online detection and diagnosis of potential failures  
at the active parts of rotating electrical machines  
Application guide

WG10: 電流診断 N376  
WG11: 熱画像診断  
WG14: AE診断  
WG15: 超音波診断

